

## Ch.2 ニューラルネットワークの基礎

### §2.1 線形回帰モデル

#### 2.1.1 最小二乗法による学習

$x \in \mathbb{R}$  : 入力,  $y \in \mathbb{R}$  : ラベル.

$\phi(x) = (\phi_1(x), \dots, \phi_M(x))^T$  : 特徴量函数 (feature function)

$\phi_i : \mathbb{R} \rightarrow \mathbb{R}$  : 基底函数 (basis function)

モデル:  $y = w^T \phi(x)$  ( $w \in \mathbb{R}^M$ : パラメータ)

- 1つのパラメータに以下の線形モデルを用いて線形モデル。
- N個の入力集合  $X = \{x_1, \dots, x_N\}$ ,

ラベル集合  $Y = \{y_1, \dots, y_N\}$  を学習用データセットとする:

$D = \{X, Y\}$ .

$D$ に対して最も“当てはまりが良い”線形モデルのパラメータは?

“当てはまりが良い” = “モデルによる予測と各ラベルとの誤差の総和が最小となる”

最小となる

を考える。

誤差函数 (error function):  $E(w) := \frac{1}{2} \sum_{n=1}^N (y_n - w^T \phi(x_n))^2$

$\rightarrow w_{LS} := \underset{w}{\operatorname{argmin}} E(w)$  と定義する。最小2乗法。

$w_{LS}$  を求める。 $E(w)$  は凸関数<sup>な</sup>,  $\nabla_w E(w) = 0$  の解

$w$  は  $w_{LS}$ 。

•  $\nabla_w f(w)$  の微分.

$$\nabla_w f(w) := \begin{pmatrix} \frac{\partial}{\partial w_1} f(w) \\ \vdots \\ \frac{\partial}{\partial w_M} f(w) \end{pmatrix}.$$

証明.

$$(1) \quad \nabla_w (a^T w) = \nabla_w (w^T a) = a.$$

$$(2) \quad \nabla_w (w^T A w) = (A + A^T) w.$$

$$\text{pf. (1)} \quad a^T w = \sum_{i=1}^M a_i w_i. \quad \frac{\partial}{\partial w_i} a^T w = \sum_{j=1}^M a_j \frac{\partial w_i}{\partial w_i} = \sum_{j=1}^M a_j \delta_{ji} = a_i.$$

$$(2) \quad w^T A w = \sum_{i=1}^M \sum_{j=1}^M a_{ij} w_i w_j.$$

$$\frac{\partial}{\partial w_k} (w^T A w) = \sum_{i=1}^M \sum_{j=1}^M a_{ij} \left( \frac{\partial w_i}{\partial w_k} w_j + w_i \frac{\partial w_j}{\partial w_k} \right)$$

$$= \sum_{i=1}^M \sum_{j=1}^M a_{ij} w_j \delta_{ik} + \sum_{i=1}^M \sum_{j=1}^M a_{ij} w_i \delta_{jk}$$

$$= \sum_{j=1}^M a_{kj} w_j + \sum_{i=1}^M a_{ik} w_i$$

$$= (Aw)_k + (A^T w)_k$$

$$= ((A + A^T) w)_k.$$

補題(例)



$$\cdot E(w) = \frac{1}{2} \sum_{n=1}^N (y_n^2 - 2y_n w^T \phi(x_n) + w^T \phi(x_n) \phi(x_n)^T w) \text{ となる}.$$

$$\begin{aligned} \nabla_w E(w) &= \frac{1}{2} \sum_{n=1}^N (-2y_n \phi(x_n) + 2\phi(x_n) \phi(x_n)^T w) \\ &= - \sum_{n=1}^N y_n \phi(x_n) + \sum_{n=1}^N \phi(x_n) \phi(x_n)^T w. \end{aligned}$$

$$\nabla_{w_L} E(w_L) = \emptyset \text{ なり}$$

$$\sum_{n=1}^N \phi(x_n) \phi(x_n)^T w_L = \sum_{n=1}^N y_n \phi(x_n).$$

行列  $\left( \sum_{n=1}^N \phi(x_n) \phi(x_n)^T \right)$  が正則であれば、

$$w_L = \left( \sum_{n=1}^N \phi(x_n) \phi(x_n)^T \right)^{-1} \sum_{n=1}^N y_n \phi(x_n).$$

- 学習済みモデルによる予測は、 $x_*$  に対して

$$y_* = w_L^T \phi(x_*)$$

を出力する。

### 2.1.2 基底函数の選択

- $\phi(x) = (x^{M-1}, x^{M-2}, \dots, x, 1)$

Mを変えるはいえば いろいろな多项式でフィッティングができる。

基底函数の種類を変えることもできる。

- ラベルが D 次元 ( $D > 1$ ) でも同様にモデル化できる：

$$y = W \phi(x)$$

### 2.1.3 過剰適合と正則化

- どういうモデルを使えばよいか？（モデル選択）

複雑すぎるモデルだと、データの特徴的な傾向をうまく

捉えられない（過剰適合：Overfitting）

### 2.1.3.1 正則化項

- L2正則化 (L2 regularization) : overfitting を防ぐ。

ペナルティ項  $\Omega_{L2}(w) = \frac{1}{2} w^T w$  ( $= \frac{1}{2} \|w\|^2$ ) を

誤差函数に加えたコスト函数

ペナルティの大きさを制御。

$$J(w) := E(w) + \lambda \Omega_{L2}(w) \quad (\lambda > 0 : パラメータ)$$

wのとりうる値に制限をかける結果。正則化項

を定義する。

$$\rightarrow w_{L2} := \underset{w}{\operatorname{argmin}} J(w) \quad \text{"パラメータを決定。"}$$

リッジ回帰 (ridge regression)

- $w_{L2}$  を求めよ。  $J(w)$  も凸函数。

$$\nabla_w J(w) = \nabla_w E(w) + \lambda \nabla_w \Omega_{L2}(w).$$

$$\nabla_w \Omega_{L2}(w) = w.$$

$$\rightarrow \nabla_w J(w_{L2}) = - \sum_{n=1}^N y_n \phi(x_n) + \sum_{n=1}^N \phi(x_n) \phi(x_n)^T w_{L2} + \lambda I_N w_{L2} = 0.$$

$$\therefore w_{L2} = \left( \sum_{n=1}^N \phi(x_n) \phi(x_n)^T + \lambda I_N \right)^{-1} \sum_{n=1}^N y_n \phi(x_n)$$

↑ これは必ず正則。

$\left. \begin{array}{l} \because 行列 \sum \phi(x_n) \phi(x_n)^T \text{ は非負定値行列。} \\ \rightarrow \text{固有値は非負。} \\ \lambda I_N \text{ を足して固有値が正にならざる。} \\ \text{この行列の行列式は正。} \end{array} \right\}$

$\rightarrow$  過度な大きさの  $w$  のペナルティ項により抑制。学習データに対して

極端に当てはまらない。  
正則化 (regularization)

## L1正則化 (L1 regularization) / LASSO

$$\text{正則化項} : Q_{L1}(w) = \|w\|_1 = \sum_{m=0}^{M-1} |w_m|.$$

→  $w$  の各要素の絶対値の和を取る。

### 2.1.3.2 正則化による学習の問題点

まだ問題が残っている。

1. 適切な  $\phi$  の設定方法が不明

→ NN について Gauss 過程と違う。

2. 選んだ特徴量がデータに合っているかを判定しきい値

→ Cross validation

3. 正則化項  $\Omega$  の設定指針が不明瞭

4. 予測の不確実性を表現できない。

## §2.2 ニューラルネットワーク

- NN: 基底函数の中にはパラメータだけでなく、データから基底函数自身も学習。

### 2.2.1 横伝播型ニューラルネットワーク.

#### 2.2.1.1 2層の横伝播型NN

- 順伝播型ニューラルネットワーク (feedforward NN)

Input:  $x_n \in \mathbb{R}^{H_0}$ . Output:  $y_n \in \mathbb{R}^D$ .

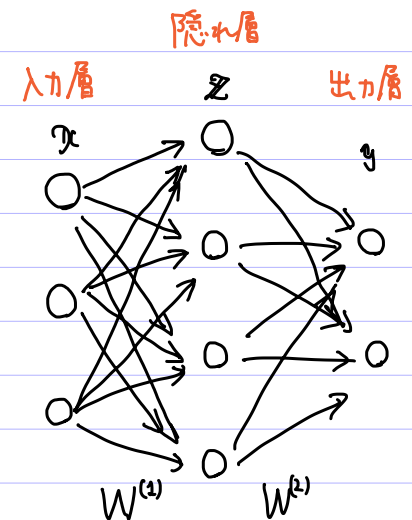
モデル:

$$y_{n,d} = \sum_{h_1=1}^{H_1} w_{d,h_1}^{(2)} \phi \left( \sum_{h_0=1}^{H_0} w_{h_0,h_1}^{(1)} x_{n,h_0} \right)$$

↑ 重みパラメータ  
↑ 活性化函数 activation

行列表記:  $y_n = W^{(2)} \phi(W^{(1)} x_n)$

↑ 要素ごとに適用



#### 2.2.1.2 サンプル活性化函数.

- $\phi$ : 基底函数のことをNNでは活性化函数 (activation func.) という。

・シグモイド函数:  $\text{Sig}(x) = \frac{1}{1+e^{-x}}$ .

・双曲線正接函数:  $\tanh(x) = \frac{e^x - e^{-x}}{e^x + e^{-x}}$

$$\tanh(x) = 2\text{Sig}(2x) - 1$$

$$\text{pf. } 2\text{Sig}(2x) - 1 = \frac{2}{1+e^{-2x}} - \frac{1+e^{-2x}}{1+e^{-2x}} = \frac{1-e^{-2x}}{1+e^{-2x}}$$

$$= \frac{e^x - e^{-x}}{e^x + e^{-x}} = \tanh(x).$$



$$\frac{1}{\sqrt{2\pi}} e^{-\frac{1}{2}t^2}$$

・標準正規分布の累積分布函数： $\Phi(x) = \int_{-\infty}^x \mathcal{N}(t|0,1) dt$ .

・Gaussの誤差函数： $Erf(x) = \frac{2}{\sqrt{\pi}} \int_0^x e^{-t^2} dt$ .

$$\Phi(x) = \frac{1}{2} \left( 1 + Erf\left(\frac{x}{\sqrt{2}}\right) \right).$$

$$pf.(r.h.s.) = \frac{1}{2} + \frac{1}{\sqrt{\pi}} \int_0^{\frac{x}{\sqrt{2}}} e^{-t^2} dt \quad t = \frac{1}{\sqrt{2}}u \quad dt = \frac{1}{\sqrt{2}} du. \quad \begin{array}{c|c} t & 0 \rightarrow \frac{x}{\sqrt{2}} \\ \hline u & 0 \rightarrow x \end{array}$$

$$= \frac{1}{2} + \frac{1}{\sqrt{\pi}} \int_0^x \frac{1}{\sqrt{2}} e^{-\frac{1}{2}u^2} du.$$

$$z=t^2, \quad \int_{-\infty}^0 \frac{1}{\sqrt{2\pi}} e^{-\frac{1}{2}t^2} dt = \frac{1}{2} \text{ erf } z,$$

$$(r.h.s.) = \int_{-\infty}^0 \mathcal{N}(t|0,1) dt + \int_0^x \mathcal{N}(t|0,1) dt$$

$$= \int_{-\infty}^x \mathcal{N}(t|0,1) dt$$

$$= \Phi(x)$$



・正規化線形函数 (ReLU) :  $ReLU(x) = \max(x, 0)$ .

・指数線形函数 (ELU) :  $ELU(x) = \begin{cases} x & (x > 0) \\ \alpha(e^x - 1) & (x \leq 0) \end{cases}$

### 2.2.1.3 NNで表現される函数の例

・NNの普遍性定理 (universal approximation theorem) :

層数2のfeedforward NNで  $H_1$ の数を大きくすることで任意の

連続函数を近似できる。

## 2.2.1.4 複数層とも feedforward NN.

- 多層化:  $d = 1, \dots, D (= H_L)$  とす。

$$y_{n,d} = \sum_{h_{L-1}=1}^{H_{L-1}} W_{d,h_{L-1}}^{(L)} \phi \left( \sum_{h_{L-2}=1}^{H_{L-2}} W_{h_{L-1},h_{L-2}}^{(L-1)} \dots \phi \left( \sum_{h_0=1}^{H_0} W_{h_1,h_0}^{(1)} x_{h,h_0} \right) \dots \right)$$

- 深層学習 (deep learning):

$L > 2$  となるような深いネットワーク構造ともモデル。

- 以下では  $L=2$  のときもその一種を考える。
- $L=2 \rightarrow \exists W_{d,h_2}^{(2)} = 1$  とする。

1. 一般化線形モデル (generalized linear model) を取り

・  $\eta$  は  $f$  の逆数  $f^{-1}$  は活性化函数の逆函数。

cf.) 一般化線形モデル (GLM)

$$\text{線形モデル} \rightarrow y = w^T x \quad (\text{線形} + \text{非線形})$$

$y$  の範囲に制限がある ( $y \in \{0,1\}$ ,  $y \in \mathbb{Z}_{\geq 0}$  など)

$y$  の分散が平均に依存するより複雑な場合には  $y \sim \text{Poisson}$  など。

$\rightarrow$  GLM: 線形モデル  $\eta = w^T x$

$$\text{逆函数 } g: \mathbb{E}[y|x] = \mu = g^{-1}(\eta) \text{ となる}$$

↑ 線形モデルによる予測値と、分布の平均との関係を表現する。

## 2.2.2 勾配降下法と Newton-Raphson 法

### 2.2.2.1 勾配降下法

- NNでは、誤差最小となるラメータを解析的に求められない。  
→ 数値解法。

- 勾配降下法 (gradient descent method)

誤差函数  $E(w)$  ( $w \in \mathbb{R}^D$ )。

点  $w_0$  における最急增加方向:  $\nabla_w E(w_0)$

pf.  $d \in \mathbb{R}^D$  方向の方向微分で最大となる  $d$  を考えよ。( $\|d\|=1$  とする)

$$\begin{aligned}& \frac{1}{\varepsilon} (E(w_0 + \varepsilon d) - E(w_0)) \quad \downarrow \text{Taylor 展開} \\&= \frac{1}{\varepsilon} (E(w_0) + \nabla_w E(w_0) \cdot (\varepsilon d) + O(\varepsilon^2) - E(w_0)) \\&= \nabla_w E(w_0) \cdot d + O(\varepsilon) \\&\xrightarrow{\varepsilon \rightarrow 0} \nabla_w E(w_0) \cdot d.\end{aligned}$$

$d$  は  $\nabla_w E(w_0)$  と同一方向のとき、方向微分は最大。

- $w$  の適当な初期値を与えて、次式を繰り返す。

$$w \leftarrow w - \alpha \nabla_w E(w).$$

$\alpha > 0$  : 学習率 (learning rate)

- $\alpha$  大  $\rightarrow$  学習は速やかに収束が安定しない。

$\alpha$  小  $\rightarrow$  学習は遅いが収束は安定する。

## 2.2.2.2 Newton-Raphson 法

- パラメータ数  $M$  が多いと、誤差函数の 2 階微分を使い、最適化する方法もよくある。
- Newton-Raphson 法

最小化する誤差函数を  $\bar{w}$  りりの Taylor 展開で 2 次近似：

$$E(w) \approx E(\bar{w}) + \nabla_{\bar{w}} E(\bar{w})^T (w - \bar{w}) + \frac{1}{2} (w - \bar{w})^T \nabla_{\bar{w}}^2 E(\bar{w}) (w - \bar{w})$$

$$=: \tilde{E}(w).$$

$E$  が  $C^2$  級なら対称行列。

$$H_E(\bar{w}) := \nabla_{\bar{w}}^2 E(\bar{w}) = \begin{pmatrix} \frac{\partial^2 E}{\partial w_1^2}(\bar{w}) & \cdots & \frac{\partial^2 E}{\partial w_1 \partial w_n}(\bar{w}) \\ \vdots & \ddots & \vdots \\ \frac{\partial^2 E}{\partial w_n \partial w_1}(\bar{w}) & \cdots & \frac{\partial^2 E}{\partial w_n^2}(\bar{w}) \end{pmatrix}$$

凸函数

Hesse 行列

$\tilde{E}(w)$  の最小解は解析的に与えられる。（停留点が最小解になる）

$$\nabla_{\bar{w}} \tilde{E}(w) = \nabla_{\bar{w}} E(\bar{w}) + H_E(\bar{w})(w - \bar{w}) = 0 \quad \text{とすると}$$

$$H_E(\bar{w})(w - \bar{w}) = -\nabla_{\bar{w}} E(\bar{w}).$$

$H_E(\bar{w})$  が正則なら、最小解は

局所的最適解の十分近くなら  $H_E(\bar{w})$  が正定値で

$H_E(\bar{w})$  が正則でない。

$$w = \bar{w} - H_E(\bar{w})^{-1} \nabla_{\bar{w}} E(\bar{w}).$$

Newton-Raphson 法の更新式：

$$w \leftarrow w - H_E(w)^{-1} \nabla_w E(w).$$

→ 2 次収束する：  $\|w_{k+1} - w^*\| = O(\|w_k - w^*\|^2)$  ( $w^*$ : 最適解)

- 一般に Newton-Raphson 法は大域的収束性がない。  
(解の十分近くから反復をすると高速に収束する: 局所的収束性)  
→ 信頼領域法を利用することで大域的収束可能にする。
- $H_E(\bar{w})$  を適当な正定値行列で近似的に計算する準 Newton 法を利用することで、大域的収束したり。 $H_E(\bar{w})$  の計算にかかる手間を省く。  
cf.) 非線形最適化(制約なし) とかで<sup>6回</sup>1~3と13~3で3.

## 2.2.3 誤差逆伝播法

- 誤差逆伝播法 (error back propagation method)

feedforward NN では 誤差最小となるパラメータが 解析的に求められない。

→ 数値的に求めよ。パラメータについての勾配已知 (もし)。

- $L$  層のモデルを考える: ( $d = 1, \dots, D (= H_L)$ )

$$y_{n,d} = \sum_{h_{L-1}=1}^{H_{L-1}} w_{d,h_{L-1}}^{(L)} \phi \left( \sum_{h_{L-2}=1}^{H_{L-2}} w_{h_{L-1}, h_{L-2}}^{(L-1)} \cdots \phi \left( \sum_{h_0=1}^{H_0} w_{h_1, h_0}^{(1)} x_{n,h_0} \right) \cdots \right) + \varepsilon_{n,d}$$

重みパラメータ全体  $\mathcal{W} = (W^{(1)}, \dots, W^{(L)})$ .

$$\sum_{n,h_0}^{(0)} = x_{n,h_0} \quad (h_0 = 1, \dots, H_0)$$

$$a_{n,h_l}^{(l)} = \sum_{h_{l-1}=1}^{H_{l-1}} w_{h_l, h_{l-1}}^{(l)} \sum_{n,h_{l-1}}^{(l-1)} \quad (l = 1, 2, \dots, L, \quad h_l = 1, \dots, H_l)$$

$$\sum_{n,h_l}^{(l)} = \phi(a_{n,h_l}^{(l)}) \quad (l = 1, 2, \dots, L-1, \quad h_l = 1, \dots, H_l)$$

学習データ数  $N$  のときの誤差函数:

真の値      予測値  
↓            ↓

$$E(\mathcal{W}) := \sum_{n=1}^N E_n(\mathcal{W}), \quad E_n(\mathcal{W}) := \frac{1}{2} \sum_{d=1}^D (y_{n,d} - a_{n,d}^{(L)})^2$$

$\nabla_{\mathcal{W}} E(\mathcal{W})$  を求めよ (= は),  $\nabla_{\mathcal{W}} E_n(\mathcal{W})$  を求めよ (= は)。

$$\frac{\partial E_n}{\partial a_{n,i}^{(l)}} =: \delta_{n,i}^{(l)} \quad (l = 1, \dots, L, \quad i = 1, \dots, H_l) \text{ と定める。}$$

- 第  $l$  層の重み  $w_{i,j}^{(l)}$  ( $i = 1, \dots, H_l, \quad j = 1, \dots, H_{l-1}$ ) を求めよ

偏微分を求める。 $w_{i,j}^{(l)}$  が関わるのは  $a_{n,i}^{(l)}$ 。**Chain rule** を使って,

$$\frac{\partial E_n}{\partial w_{i,j}^{(l)}} = \frac{\partial E_n}{\partial a_{n,i}^{(l)}} \frac{\partial a_{n,i}^{(l)}}{\partial w_{i,j}^{(l)}} = \delta_{n,i}^{(l)} \sum_{n,j}^{(l-1)}.$$

$$E_n(a_n^{(L)}(a_n^{(L-1)} \cdots (a_n^{(1)} \cdots))) \Rightarrow \frac{\partial E_n}{\partial w_{i,j}^{(l)}} = \frac{\partial E_n}{\partial a_{n,i}^{(l)}} \frac{\partial a_{n,i}^{(l)}}{\partial w_{i,j}^{(l)}} \cdots \frac{\partial a_{n,i}^{(1)}}{\partial w_{i,j}^{(l)}} = \frac{\partial E_n}{\partial a_{n,i}^{(l)}} \frac{\partial a_{n,i}^{(l)}}{\partial w_{i,j}^{(l)}}.$$

- $\hat{z} = \tilde{z}^n$ ,  $\delta_{n,i}^{(L)}$  は計算できる。 $d = z$  のときたいた關係する

$$\delta_{n,i}^{(L)} = \frac{\partial E_n}{\partial a_{n,i}^{(L)}} = \frac{1}{2} \sum_{d=1}^D \frac{\partial}{\partial a_{n,i}^{(L)}} (y_{n,d} - a_{n,d}^{(L)})^2$$

$$= \frac{1}{2} \cdot 2 (y_{n,i} - a_{n,i}^{(L)}) (-1)$$

$$= a_{n,i}^{(L)} - y_{n,i} . \leftarrow \text{真の値と NN の出力との誤差}$$

- $\delta_l (\geq 2) \rightarrow \delta_{n,i}^{(l)} (i = 1, \dots, H_l)$  が求めるとなる。このとき

$$\delta_{n,i}^{(l-1)} (i = 1, \dots, H_{l-1}) \in \delta_{n,i}^{(l)} (i = 1, \dots, H_l) \text{ が求めると}$$

$$a_{n,j}^{(l)} = \sum_{h=1}^{H_{l-1}} W_{j,h}^{(l)} \phi(a_{n,h}^{(l-1)}) \text{ が求めると } a_{n,i}^{(l-1)} \text{ も求めると}$$

$a_{n,j}^{(l)} (j = 1, \dots, H_l)$  が全て求めると。Chain rule 使う

$$\delta_{n,i}^{(l-1)} = \frac{\partial E_n}{\partial a_{n,i}^{(l-1)}} = \sum_{j=1}^{H_l} \frac{\partial E_n}{\partial a_{n,j}^{(l)}} \frac{\partial a_{n,j}^{(l)}}{\partial a_{n,i}^{(l-1)}}$$

$a_{n,i}^{(l-1)}$  が求めると  $h = i$  のとき  $j = 1$

$$= \sum_{j=1}^{H_l} \delta_{n,j}^{(l)} \frac{\partial}{\partial a_{n,i}^{(l-1)}} \left( \sum_{h=1}^{H_{l-1}} W_{j,h}^{(l)} \phi(a_{n,h}^{(l-1)}) \right)$$

$$= \sum_{j=1}^{H_l} \delta_{n,j}^{(l)} W_{j,i}^{(l)} \phi'(a_{n,i}^{(l-1)})$$

$$= \phi'(a_{n,i}^{(l-1)}) \sum_{j=1}^{H_l} \delta_{n,j}^{(l)} W_{j,i}^{(l)}$$

- $\delta_{n,i}^{(l)}$  は、全ての  $a_{n,i}^{(l)}$  が求めるとなる

$$\delta_{n,i}^{(L)} \rightarrow \delta_{n,i}^{(L-1)} \rightarrow \dots \rightarrow \delta_{n,i}^{(2)} \rightarrow \delta_{n,i}^{(1)}$$

の順序で求まる！（逆伝播）

- $\frac{\partial E_n}{\partial w_{i,j}^{(l)}}$  は全ての  $\delta_{n,i}^{(l)}$  と  $\sum_{j=1}^{H_l} \delta_{n,j}^{(l)} \phi'(a_{n,j}^{(l-1)})$  が求められていれば計算できる！

## Algo. (誤差逆伝播法)

1. 正伝播 :  $\mathbf{z}_{n,i}^{(0)} \rightarrow a_{n,i}^{(1)} \rightarrow \mathbf{z}_{n,i}^{(1)} \rightarrow \dots \rightarrow \mathbf{z}_{n,i}^{(L-1)} \rightarrow a_{n,i}^{(L)}$  の順に

全ての隠れユニットの値  $\mathcal{Z} = \{\mathbf{z}_{n,i}^{(l)}\}$  と活性  $\mathcal{A} = \{a_{n,i}^{(l)}\}$

を計算する。

2. 逆伝播 : 現在のパラメータ  $\mathbf{W}$  と活性  $\mathcal{A}$  を使って

$d_{n,i}^{(L)} \rightarrow d_{n,i}^{(L-1)} \rightarrow \dots \rightarrow d_{n,i}^{(2)} \rightarrow d_{n,i}^{(1)}$

の順に  $\Delta$  と  $\mathcal{D} = \{d_{n,i}^{(l)}\}$  を計算する。

3. 勾配計算 : デルタ  $\Delta$  と隠れユニットの値  $\mathcal{Z}$  を使って,  $E_n$  の  
パラメータ  $\mathbf{W}$  に対する勾配  $D_{\mathbf{W}} E_n(\mathbf{W})$  を計算する。

4. パラメータ更新 : 勾配降下法によるパラメータを

$$\mathbf{W} \leftarrow \mathbf{W} - \alpha D_{\mathbf{W}} E(\mathbf{W})$$

と更新。 □

・ 実装上は **自動微分** (automatic differentiation) を利用できる。

cf. Chain rule. (以下は雑な主張については、解析学の本で見るべし)

$f(y_1, \dots, y_n)$ ,  $y_i = g_i(x_1, \dots, x_m)$  のとき

$$\frac{\partial f}{\partial x_j} = \sum_{i=1}^n \frac{\partial f}{\partial y_i} \frac{\partial y_i}{\partial x_j} \quad (j = 1, \dots, m).$$

- ふつうの feedforward NN (パラメータ数多く) に.

→  $E(W)$  を最小化すると過剰適合する可能性あり.

Ridge 回帰と同様,  $E(W)$  のように:

$$J(W) = E(W) + \frac{\lambda}{2} \Omega_{L2}(W)$$

$E$  最小化することを "PAC". ( $\Omega_{L2}(W) = \sum_{w \in W} w^2$ )

このときの重みの更新式には **重み減衰** (weight decay) の式と一致:

$$J(W) = \nabla_W E(W) + \frac{\lambda}{2} \nabla_W \Omega_{L2}(W).$$

$$\text{ここで } \nabla_W \Omega_{L2}(W) = 2W \text{ となる},$$

$$W \leftarrow W - \alpha \left( \lambda W + \nabla_W E(W) \right) = (\underbrace{1 - \alpha \lambda}_{\text{重み}}) W - \alpha \nabla_W E(W)$$

と更新する.

## 2.2.4 Hesse行列を利用して学習.

- 勾配降下法の通りに Newton-Raphson 法を利用してさる.

→ Hesse 行列  $M$  を用い, パラメータ数  $M$  に対して

$O(M^2)$  の計算時間.

簡略化のために, 各入力  $x_n$  に対する出力  $a_n^{(l)}$  の勾配を用い,

$$H_E(W) \approx \sum_{n=1}^N (\nabla_W a_n^{(l)}) (\nabla_W a_n^{(l)})^T$$

と近似することもある.

## 2.2.5 分類モデルの学習

- 回帰問題ではなって、分類問題を解くには？

- 2値分類。シグモイド函数  $\text{Sigmoid}$  を使って、

$x_n$ に対する出力  $a_n^{(L)} \in \mathbb{R}$  で

$$\mu_n = \text{Sigmoid}(a_n^{(L)}) \in (0, 1) \quad \leftarrow y_n = 1 \text{ となる確率を表す}.$$

と交換。 $y_n \in \{0, 1\}$  に对する誤差を **交差エントロピー-誤差函数**

$$E(W) = - \sum_{n=1}^N (y_n \log \mu_n + (1-y_n) \log (1-\mu_n))$$

で評価。

- Dクラス分類。 $y_n \in \{0, 1\}^D$ ,  $\sum_{d=1}^D y_{n,d} = 1$  (one-hot vector)

$x_n$ に対する出力  $a_n^{(L)} \in \mathbb{R}^D$  で **ソフトマックス函数**

$$\pi_d(a_n^{(L)}) := \frac{\exp(a_{n,d}^{(L)})}{\sum_{k=1}^D \exp(a_{n,k}^{(L)})} \quad \leftarrow y_{n,d} = 1 \text{ となる確率を表す}.$$

$$\text{と } \sum_{d=1}^D \pi_d(a_n^{(L)}) = 1 \text{ となる } D \text{-次元ベクトル}$$

$$\pi(a_n^{(L)}) = \begin{pmatrix} \pi_1(a_n^{(L)}) \\ \vdots \\ \pi_D(a_n^{(L)}) \end{pmatrix}$$

と交換。誤差函数を多値版の交差エントロピー-誤差

$$E(W) = - \sum_{n=1}^N \sum_{d=1}^D y_{n,d} \log \pi_d(a_n^{(L)})$$

- 上記の誤差函数を誤差逆伝播させて最小化することで学習了。

- Dクラス分類での back propagation の式

$d = d'$  のとき

$$\begin{aligned}
 \frac{\partial \pi_d(a_n^{(L)})}{\partial a_{n,d}^{(L)}} &= \frac{\partial}{\partial a_{n,d}^{(L)}} \left( \frac{\exp(a_{n,d}^{(L)})}{\sum_{d'=1}^D \exp(a_{n,d'}^{(L)})} \right) \\
 &= \frac{1}{\left( \sum_{d'=1}^D \exp(a_{n,d'}^{(L)}) \right)^2} \left( \exp(a_{n,d}^{(L)}) \sum_{d'=1}^D \exp(a_{n,d'}^{(L)}) - \exp(a_{n,d}^{(L)})^2 \right) \\
 &= \pi_d(a_n^{(L)}) - \pi_d(a_n^{(L)})^2 \\
 &= \pi_d(a_n^{(L)}) (1 - \pi_d(a_n^{(L)}))
 \end{aligned}$$

$d \neq d'$  のとき

$$\begin{aligned}
 \frac{\partial \pi_d(a_n^{(L)})}{\partial a_{n,d'}^{(L)}} &= \exp(a_{n,d}^{(L)}) \frac{\partial}{\partial a_{n,d'}^{(L)}} \left( \left( \sum_{d''=1}^D \exp(a_{n,d''}^{(L)}) \right)^{-1} \right) \\
 &= \exp(a_{n,d}^{(L)}) \cdot (-1) \left( \sum_{d''=1}^D \exp(a_{n,d''}^{(L)}) \right)^{-2} \exp(a_{n,d'}^{(L)}) \\
 &= -\pi_d(a_n^{(L)}) \pi_{d'}(a_n^{(L)})
 \end{aligned}$$

$n' = n$  のとき  $\cancel{+}$

$\downarrow$

$$\begin{aligned}
 \delta_{n,d}^{(L)} &= \frac{\partial E(w)}{\partial a_{n,d}^{(L)}} = \frac{\partial}{\partial a_{n,d}^{(L)}} \left( - \sum_{n'=1}^N \sum_{d'=1}^D y_{n',d'} \log \pi_{d'}(a_{n'}^{(L)}) \right) \\
 &= - \sum_{d'=1}^D y_{n,d'} \frac{\partial}{\partial a_{n,d}^{(L)}} \log \pi_{d'}(a_{n'}^{(L)}) \\
 &= - \sum_{d' \neq d} y_{n,d'} (\cancel{\pi_{d'}(a_{n'}^{(L)})})^{-1} (-\cancel{\pi_d(a_n^{(L)})} \pi_d(a_n^{(L)})) \\
 &\quad - y_{n,d} (\cancel{\pi_d(a_n^{(L)})})^{-1} \left( \cancel{\pi_d(a_n^{(L)})} (1 - \cancel{\pi_d(a_n^{(L)})}) \right) \\
 &= \pi_d(a_n^{(L)}) \sum_{d' \neq d} y_{n,d'} - y_{n,d} (1 - \pi_d(a_n^{(L)}))
 \end{aligned}$$

$$\begin{aligned}
 &= \text{PI}_d(\alpha_n^{(L)}) \sum_{d'=1}^D y_{n,d'} - y_{n,d} \\
 &\quad \text{~~~~~} = 1 \\
 &= \text{PI}_d(\alpha_n^{(L)}) - y_{n,d}. \quad \leftarrow \text{分類結果に対する真値との差分.}
 \end{aligned}$$

## §2.3 効率的な学習法

- 勾配降下法で feedforward NN の学習.

→ 大規模データに対する処理速度に問題あり.

パラメータが多く過ぎて適合してしまう.

フルバッチ学習...

### 2.3.1 確率的勾配降下法.

- データセット  $\mathcal{D} = \{(x_n, y_n)\}_{n=1}^N$  中の  $N$  個のデータを全て使って

勾配を計算する方法 → バッチ学習 (batch learning).

/ 固定パラメータ更新のたびに学習データ全てを使う

→ 大量のデータを使う際に計算効率が悪い.

- $\mathcal{D}$  を一気に処理せず、 $M (< N)$  個の小規模な

部分集合  $\mathcal{D}_s = \{(x_n, y_n)\}_{n \in s}$  ( $s = 1, 2, \dots, M$ ) を取り出して使う.

・  $s$  : ランダムに  $M$  個選んだ添字集合.

誤差函数  $E_s(W) = N \cdot \frac{1}{M} \sum_{n \in s} E_n(W)$  を設定し,

これについて back propagation することで  $W$  を更新する.

(確率的勾配降下法 : Stochastic Gradient Descent, SGD

ミニバッチの選び方やランダム.

・  $E_s(W)$  は、 $\delta$  の選び方で一様に丁寧 (  $q_{\theta}(\delta)$  : 一様分布 )

期待値は  $E(W)$  と一致する:  $E(W)$  を minimize すると  $E_s(W)$  を minimize するには大体同じ」ということ.

$$E_{q_{\theta}(\delta)}[E_s(W)] = E(W).$$

証明.  $\delta$  を選ぶ確率は、 $q_{\theta}(\delta) = \frac{1}{\binom{N}{M}} = \frac{M!(N-M)!}{N!}$

$$\begin{aligned} E_{q_{\theta}(\delta)}[E_s(W)] &= \sum_{\delta} E_s(W) \cdot q_{\theta}(\delta) \\ &= \frac{(M-1)!(N-M)!}{(N-1)!} \sum_{\delta} \sum_{n \in \delta} E_n(W) \\ &= \binom{N-1}{M-1}^{-1} \sum_{\delta} \sum_{n \in \delta} E_n(W). \end{aligned}$$

ここで、各  $E_n(W)$  が  $\sum_{\delta} \sum_{n \in \delta} E_n(W)$  の中で何回加えられるかを考へる。

$n$  を含むような  $\delta$  の選び方は  $\binom{N-1}{M-1}$  通りあるので、

たとえば  $E_n(W)$  が  $\binom{N-1}{M-1}$  回加えられる。

$$\begin{aligned} \therefore E_{q_{\theta}(\delta)}[E_s(W)] &= \binom{N-1}{M-1}^{-1} \binom{N-1}{M-1} \sum_{n=1}^N E_n(W) \\ &= E(W). \end{aligned}$$



・  $\alpha_1, \alpha_2, \dots$  が  $\alpha_i \in \mathbb{C}$ ,

$$\sum_{i=1}^{\infty} \alpha_i = \infty, \quad \sum_{i=1}^{\infty} \alpha_i^2 < \infty \quad - (*)$$

となるとき:  $\alpha_1, \alpha_2, \dots$  のとく値はスケジューリングすると、

ミニマム代价は更新版確率で  $E(W)$  の停留点で収束する。

(証明は知りたい)

(\*) とみたるスケジュール "I = \mathbb{N}" とし  $\alpha_i = \frac{\alpha}{i}$  ( $\alpha > 0$ ) とする.

cf.  $\sum_{i=1}^{\infty} \frac{1}{i}$  は発散する.

pf.  $S_n := \sum_{i=1}^n \frac{1}{i}$  とす.  $\frac{1}{i} > 0$  なので,  $\sum_{i=1}^{\infty} \frac{1}{i}$  は収束する  $+ \infty$  に

発散する. (振動は  $I \neq \mathbb{N}$ )

$$S_{2n} - S_n = \sum_{i=n+1}^{2n} \frac{1}{i} \geq \sum_{i=n+1}^{2n} \frac{1}{2n} = n \cdot \frac{1}{2n} = \frac{1}{2}$$

なので,  $\{S_n\}$  は Cauchy でない. 収束しない.  $\therefore \sum_{i=1}^{\infty} \frac{1}{i}$  は発散. 

$\sum_{i=1}^{\infty} \frac{1}{i^2}$  は収束する.

pf.  $\sum_{i=1}^n \frac{1}{i^2} < 1 + \int_1^n \frac{1}{x^2} dx = 1 + \left[ -\frac{1}{x} \right]_1^n = 2 - \frac{1}{n}$

$\therefore n \rightarrow \infty$  とし  $\sum_{i=1}^{\infty} \frac{1}{i^2} < 2$ . 

### Robbins-Monro アルゴリズム:

学習率スケジューリング  $\alpha_i = \frac{\alpha}{i}$  ( $\alpha > 0$ ) による確率的勾配降下法を

行う.

・ モメンタム法 (momentum method): SGD の最適化の効率化.  
過去の勾配の影響をどれだけ受けられるかを指定する.

$\beta \in [0, 1)$  とし 次式で反復.

$$\mathbf{P} \leftarrow \beta \mathbf{P} - \alpha \nabla_w E(\mathbf{w}) ;$$

$$\mathbf{w} \leftarrow \mathbf{w} + \mathbf{P}$$

経験的に良くなる.

## 2.3.2 ドロップアウト.

- 確率的正則化 (Stochastic regularization) :

モデル学習時に「量のノイズ」をデータや隠れユニットなどに加えて

過剩適合を抑制し、汎化性能を上げる。

- ドロップアウト (dropout) : ↑の一例。SGDとともによく用いられる。

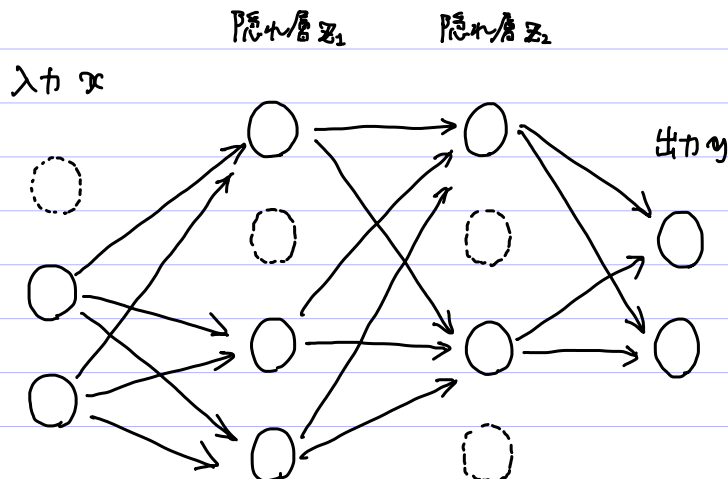
dropout を用いた feedforward NN の学習.

$$\text{ミニバッチ } \mathcal{D}_s = \{(x_n, y_n)\}_{n \in s} : \text{given.}$$

各データ点  $(x_n, y_n)$  に対する勾配計算時に、各ユニットを

ある独立な確率  $r \in (0, 1)$  で無効にする。

→  $(x_n, y_n)$  が与えられるごとに サブネット が構成される：



各  $(x_n, y_n) \in \mathcal{D}_s$  に対する勾配を計算した後は、それらの平均と共に

パラメータ更新のための勾配を得る。

- $\hat{y}$  の予測

入力  $x_*$  に対する  $\hat{y}$  の予測では、ユニットを欠落させていた元々の

ネットワークを利用。

- 実験的には、各ユニットの出力を 1/10 倍にスケーリングしたものを

代わりに用いると、予測性能が良くなれる。

- dropout で過剰適合を防げる理由。

サブネットを組み合わせることによる **アンサンブル効果**：

ユニット数をひとすると、 $2^L$  個の異なるサブネットでアンサンブルしている

ようなもの。

- 遺伝的アルゴリズムによるプロセスを模倣している。 (?)

- その他の確率的正則化。

- ユニットを無効化するかわりに、ユニットの出力をノイズ  $m \sim \mathcal{N}(1, 1)$

を加える

- 予測時のスケーリングは不要。

- **Drop Connect** : dropout の特別な場合。

各スカラーの重み  $w$  と隣接ユニットとの間の接続をランダムに欠落。

### 2.3.3 バッチ正規化 確率的正則化の一つ

- バッチ正規化 (batch normalization) :

学習時に加法的な「ノイズ」と乗法的な「ノイズ」を隠れユニットへ与え、

学習時の最適化の効率化と「ノイズ」の付加による正則化の効果を同時に実現。

- 多層NNの学習の難しさの要因の一つとして、

一つ前の層のパラメータの変化に伴い、次の層への入力の分布が大幅に変化

することである。(内部共変量シフト : internal covariate shift)

→ 学習率  $\alpha$  を小さくすることで一度の更新量を小さくすると学習効率低下…。

- batch normalization :

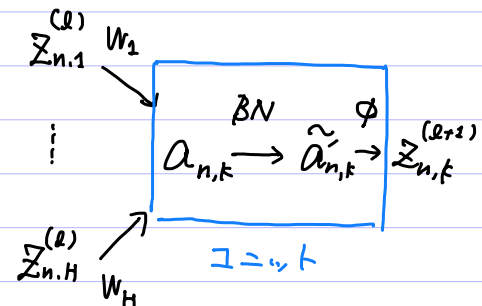
$D_s = \{(x_n, y_n)\}_{n \in s}$  : given のとき、隠れユニットの活性  $\{a_n\}_{n \in s}$  の各値を

平均0、分散1になるよう修正する:

$$\mu_s \leftarrow \frac{1}{M} \sum_{n \in s} a_n;$$

$$\sigma_s^2 \leftarrow \frac{1}{M} \sum_{n \in s} (a_n - \mu_s)^2;$$

$$\tilde{a}_n \leftarrow \frac{a_n - \mu_s}{\sqrt{\sigma_s^2 + c}} \quad (c > 0) \quad \text{定数} \quad \text{数値的に安定にするための}$$



1つめの  $\gamma, \beta \in \mathbb{R}$  によりユニットの値を

$$\tilde{a}'_n \leftarrow \gamma \tilde{a}_n + \beta \quad \leftarrow \text{表現力をもたせたい}.$$

とする。

Batch normalizationは非線形変換を行った後:  $z = \phi(BN(a))$

- Batch normalization を用いた NN の予測を行なうと、学習データ全体の変動を正規化する。
- Batch normalization は、各隠れユニットの入力の傾向を安定化。
  - モーテルのパラメータ調整や初期化なども簡単になる
  - 学習率を上げて学習速度を上げることができる
- 理論的な根拠などを

c.f. Batch normalization & dropout を併用した方の良さ:

[Li+2018] Understanding the Disharmony between Dropout and Batch Normalization by Variance Shift.

## §2.4 ニューラルネットワークの拡張モデル

- feedforward NN以外にもいろいろある。

### 2.4.1畳み込みNN.

- 畳み込みNN (LeCun+, 1989) : Convolutional NN

通常の重みパラメータによる行列積の代わりに畳み込み(convolution)を行う。  
とふうの“畳み込み”とは  
異なる意味合いらしい。

- 主に時系列データや画像認識のタスクで高い性能を発揮。
- 2次元データに対する畳み込み計算の例。

$X \in M_{m,n}(\mathbb{R})$  : 2次元データ

$W \in M_{k,l}(\mathbb{R})$  : フィルタ(filter) ( $k \leq m, l \leq n$ )

畳み込み後のデータ  $S \in M_{m-k+1, n-l+1}(\mathbb{R})$  における

$$S_{i,j} = (W * X)_{i,j} := \sum_{a=1}^k \sum_{b=1}^l W_{a,b} X_{i+a-1, j+b-1}$$

と計算。  $S$  を 特徴マップ (feature map) と呼ぶ。

- 疎結合 (Sparse connected) なネットワークである。

c.) feedforward NNは 全結合 (fully connected)

- 出力  $S_{i,j}$  は 入力  $X$  の 局所的な 領域 にのみ 依存するよし制限される。

→ パラメータ数が少ないので。

- 共通のフィルタは複数持つので、 $X$  の 特徴的な 局所的 移動に対応して、不規則特徴抽出。

- ・ フィルタと入力  $X$  を適切に交換すれば、通常の行列積で表現可能。

→ backpropagation で  $W$  を学習できる。

(計算の効率上、こうしたことはやらない)

- ・ 特徴マップは、活性化函数により変換。

・ プーリング函数 (pooling func.) : 非線形変換。固定して使う。

ex) 最大プーリング (max pooling)

・ プーリングされる直は、入力のわずかな変化に対しても変化しない。

## 2.4.2 再帰型 NN

- ・ feedforward NN, CNN

・ 各データ点は独立 という仮定を置いていた。

→ 音声、動画、文字列など、各データ点が時系列的な相關をもつとは、

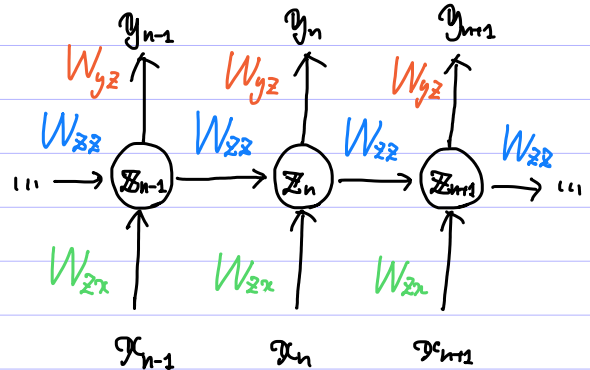
独立性を仮定できない。

・ 入力データやラベルの次元数は通常固定されている。

→ 長さが異なる文字列などのデータは扱いつらい。

・ **再帰型 NN** : Recurrent NN.

・ 系列データを扱うための NN.



・ 連続値入力データ:  $x_1, \dots, x_N$

カテゴリリ ラベルデータ:  $y_1, \dots, y_N$  (D カテゴリ)

時刻 n の隠れユニット:  $z_n$  は次のように計算される。

$$z_n \leftarrow \phi(W_{zx}x_n + W_{zz}z_{n-1} + b_z)$$

時刻 n の隠れユニットからの出力:

$$\pi_n \leftarrow \pi(W_{yz}z_n + b_y) \quad (\pi: \text{softmax})$$

・ 誤差函数は各時刻のネットワークの出力とラベルの間の誤差に以下

定義される。

パラメータ集合  $\Theta := \{W_{zx}, W_{zz}, b_z, W_{yz}, b_y\}$  とする。

時刻 n における誤差は、クロスエントロピー誤差に以下

$$E_n(\Theta) = - \sum_{d=1}^D y_{n,d} \log \pi_{n,d}.$$

時系列全体の誤差は、

$$E(\Theta) = \sum_{n=1}^N E_n(\Theta)$$

$E$  の  $(\Theta)$  に関する最小化は backpropagation でできる。(\*exercise\*)

・ 13n372 RNN, 構造がある。

## 2.4.3 自己符号化器

自己符号化器 (autoencoder) :

教師なし学習. 入力データを低次元の空間に圧縮する次元削減法.  
利用される.

データ  $\mathcal{X} = \{\mathbf{x}_1, \dots, \mathbf{x}_N\} \subseteq \mathbb{R}^D$  で

$\mathcal{Z} = \{\mathbf{z}_1, \dots, \mathbf{z}_N\} \subseteq \mathbb{R}^d$  ( $d < D$ ) は交換可能.

各  $\mathbf{z}_n \in \mathcal{Z}$  は 符号 (code) とか 潜在変数 (latent variable) とかいう.

二つの NN  $f, g$  を使う.

$f$ : 符号化器 (encoder).  $\mathbf{z}_n = f(\mathbf{x}_n)$

$g$ : 復号化器 (decoder).  $\tilde{\mathbf{x}}_n = g(\mathbf{z}_n)$ ,  $\tilde{\mathbf{x}}_n \approx \mathbf{x}_n$

損失関数:  $L(\mathbf{x}_n, \tilde{\mathbf{x}}_n) \rightarrow \min$ . ここで字書きさせよ.

（ $\mathbf{x}_n$  も本質的な情報を  $\mathbf{z}_n$  に抽出できるようにする）

潜在変数  $\mathbf{z}_n$  は、データ圧縮や 特徴量として利用される.

$f, g$  は通常は feedforward NN で利用される.

$f, g$  の表現力が高すぎたり,  $d > D$  だと  $g \circ f = id$

となる. つまり,  $\mathbf{z}_n$  は,  $\mathbf{x}_n$  の「イズ」も含めて情報をもつており, 高味なし.

(誤判過合)

→  $\mathbf{z}_n$  が獲得する表現を抑える必要がある.

$$\text{正則化: } J_n = \mathcal{L}(x_n, \tilde{x}_n) + \lambda \Omega(z_n)$$

→  $g \circ f = id$  となることを防ぐ

- $f, g, \mathcal{L}, \Omega$  の設計が明確でない。

これらの値と過剰適合しないように調整するのも難しい。

→ 变分自己符号化器 (variational autoencoder, VAE).